

2次元粒状体の構造について

政大大学院 学生会員 福田光宏

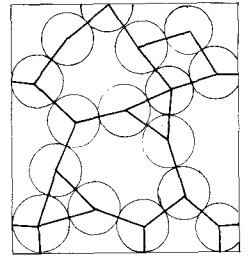
はじめに

粒子接触角、粒子間伝達力、粒子間摩擦力による応力伝達機構の研究は成果をあげてきている。しかし、<sup>1)</sup>最近が指摘した(1)タイレイトンシー(2)変形の不連続性(3)空隙比分布の限界空隙比の現象を一般的に解析するには今後種々の実験と考察が必要と考えられる。本研究では、粒状体のつめ方ランダムであるという仮定に立ち、与えられた状態での均等径の二次元粒状体の構造を表現する手法を考察した。

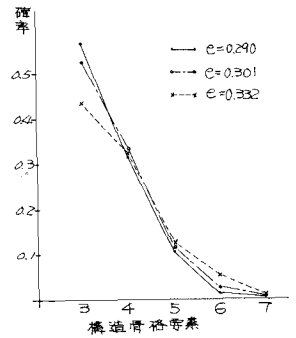
2. 構造骨格要素の分布

丸棒を使用した二次元粒状体モデルでは、「空隙」を構造と強く結びつけて考えることが出来る。

Fig(1)に示したように、接触している円の中心と接点を直線と結んでいくとトラス構造が得られる。ところが逆にトラス構造は多角形でつくられる空隙の集合体ともみられる。土構造を取り扱う場合、我々はその与えられた土を対象とするのであり、その場合、空隙比が土の力学特性を分類する一つの指標となっている。従って空隙比によって構造を考える必要性がある。そこで多角形を構造の特性と規定する要素と看做し、構造骨格要素とする。そして3辺で出来る多角形を3尖骨格要素、4辺で出来るものを4尖骨格要素と呼ぶことにし、5辺以上の多角形をそれに順じる。一般に実験対象とはっているものはランダムとされるつめ方である。本研究の場合ランダムは構造骨格要素の量とならう方に関連している。そして、構造を構造骨格要素の確率密度関数によってあらわすことにする。その場合、4尖骨格要素以上の面積を固定したものでないか、ランダムな仮定によって、ある道のまわりに分布しているものとして扱った。従って構造骨格要素だけの確率分布関数をモデルの構造に近似にあらわすことは可能であろう。Fig(2)に4mmのアルミ棒による実験結果を示した。これによると空隙比が大きくなると、3尖骨格要素の確率が減少するといえる。すなわち空隙比の変化に構造骨格要素の分布が対応していることを示している。



Fig(1) 2次元粒状体のトラス構造



Fig(2) 空隙比と構造骨格要素の分布

3. 構造骨格要素の分布形の理論式

全空隙数のうち3尖骨格要素の出現する確率を $P_3$ とし、 $P$ を確率、亦方 $i$ を骨格要素の種類、最大骨格要素の大きさを $i$ とする。丸棒の本数を $M$ 、全空隙数を $N$ 、各骨格要素の空隙数を $n_i$ とする。すると本数 $M$ は $n_i$ によって

$$\frac{1}{2} \sum_{i=3}^{\infty} (i-2) n_i = M \quad \dots \dots \dots (1)$$

(1)式の両辺を $N$ で割ると、 $n_i / N = P_i$ なる確率を代入すると、

$$\frac{1}{2} \sum_{i=3}^{\infty} (i-2) P_i = 2M / N \quad \dots \dots \dots (2)$$

3尖骨格要素の面積を $S_3$ とすると、 $S_3$ は種々に分布している。しかし、ランダムな仮定のもとでは(3)

を平均とすると、 $n$  要素の積面積は  $\Sigma P_i = n P_i(\bar{x})$  と考えてもよいであろう。あると全面積  $S$  とすると、

$$S = \sum_{i=1}^n N P_i(\bar{x}) \quad \dots \dots (3)$$

(3) 式を  $N$  について解く式に代入すると

$$\sum_{i=1}^n P_i \left( \bar{x} - 2 - \frac{2M}{S} P_i(\bar{x}) \right) = 0 \quad \dots \dots (4)$$

(4) 式は丸棒の本数とそれによってつくられる柱状体モデルの面積が既知の場合、 $P_i$  の満足する条件である。

ここで、ある条件の中で分布形を定める場合、一般にエントロピー最大原理が利用される。エントロピー  $S$  とすると

$$S = -K \sum_{i=1}^n P_i \ln P_i \quad \dots \dots (5)$$

$P_i$  は確率であるから

$$\sum_{i=1}^n P_i = 1 \quad \dots \dots (6)$$

従って、 $S$  を条件(4)式、(6)式のもと最大にする問題、すなわち Lagrange の不定乗数法の問題に帰着する。

(4) (6) 式を微分し、(5) 式の結果を  $\lambda$  とおくと

$$\sum_{i=1}^n P_i \left( \bar{x} - 2 - \frac{2M}{S} P_i \right) dP_i = 0 \quad \dots \dots (7)$$

$$dS = -K \sum_{i=1}^n (\ln P_i + 1) dP_i = 0 \quad \dots \dots (8) \quad \sum_{i=1}^n dP_i = 0 \quad \dots \dots (9)$$

(4) 式に定数  $\theta - 1$ 、(8) 式に定数  $\lambda$  を乗じて(7)式に加え、整理すると、

$$\sum_{i=1}^n P_i \left( \ln P_i + \theta + \lambda \left( \bar{x} - 2 - \frac{2M}{S} P_i \right) \right) dP_i = 0 \quad \dots \dots (10)$$

$P_i$  はそれぞれ独立に変化するから

$$\ln P_i + \theta + \lambda \left( \bar{x} - 2 - \frac{2M}{S} P_i \right) = 0$$

$$\text{従って} \quad P_i = \exp \left\{ -\theta - \lambda \left( \bar{x} - 2 - \frac{2M}{S} P_i \right) \right\} \quad \dots \dots (11)$$

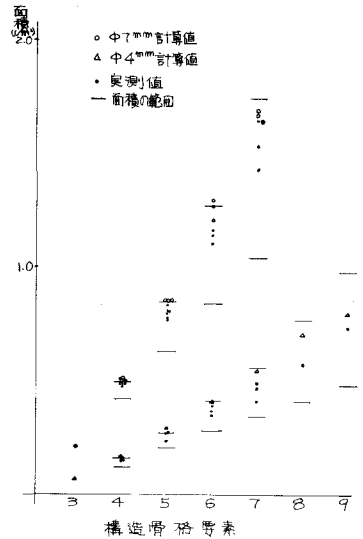
間隙比  $e$ 、丸棒の直径を  $R$  とすると、 $2M/S = 8(1-e)/\pi R^2$  の関係がある。それ故(11)式は与えられた間隙比のもとでの骨格要素の確率密度関数と与える式である。

#### 4. 実験と結果

(11) 式の検証には実験の難易を考慮し、 $P_i$  から  $\langle P_i \rangle$  へ一定の値を導き出すか、実験した  $P_i$  との関係によっておこなった。実験は中 7 mm、中 4 mm のアルミ棒を使用し、適当な本数を手でつくり、つんでいった。測定は写真によっておこなった。結果を Fig(3) に示す。図上の一回力条件を無視して計算した各骨格要素の面積の最大、最小をあらわしている。3 要素骨格要素の面積は当然一義的に決まる。4 要素、5 要素骨格要素は最大の面積に近く、要素の数が増えるにしたがって中間付近に分布する傾向がある。図には  $P_i$  より逆算して求めた  $\langle P_i \rangle$  も示してある。これによると、5、6 要素骨格要素については上限付近にプロットされている。 $\langle P_i \rangle$  (11) 式については一定の値を導きだせた。また径の違いによる特性も(11)式はあらわしている。

#### 5. あとがき

ランダムなつくりと  $P_i$  をもう少し熟考する必要があるか、(11) 式はある程度二次元柱状体の構造をあらわしていることかわかった。参考文献 最上武雄：柱状体の力学，土と基礎 Vol. 15, No. 1, 1967



Fig(3) 構造骨格要素の面積